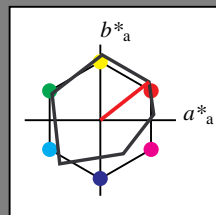


Eingabe: Farbmimetrisches Offset-Reflektiv-System ORS18

für Buntton $h^* = lab^*h = 38/360 = 0.106$
 lab^*tch und lab^*nch

D65: Buntton O
LCH*Ma: 48 82 38
olv*Ma: 1.0 0.0 0.0



ORS18; adaptierte CIELAB-Daten

	$L^*=L^*_a$	a^*_a	b^*_a	$C^*_{ab,a}$	$h^*_{ab,a}$
O _m	47.94	64.42	50.58	81.9	38
Y _m	92.62	2.41	86.36	86.39	88
L _m	50.9	-63.82	35.02	72.81	151
C _m	51.25	-53.68	-57.69	78.82	227
V _m	25.72	30.34	-44.37	53.76	304
M _m	56.25	70.59	7.57	70.99	6
N _m	18.11	0.0	0.0	0.0	0
W _m	95.6	0.0	0.0	0.0	0
R _{CIE}	47.79	60.85	41.08	73.41	34
J _{CIE}	83.82	6.52	66.9	67.22	84
G _{CIE}	49.0	-36.83	2.78	36.95	176
B _{CIE}	25.14	-18.35	-56.22	59.15	252

Dreiecks-Helligkeit t^*

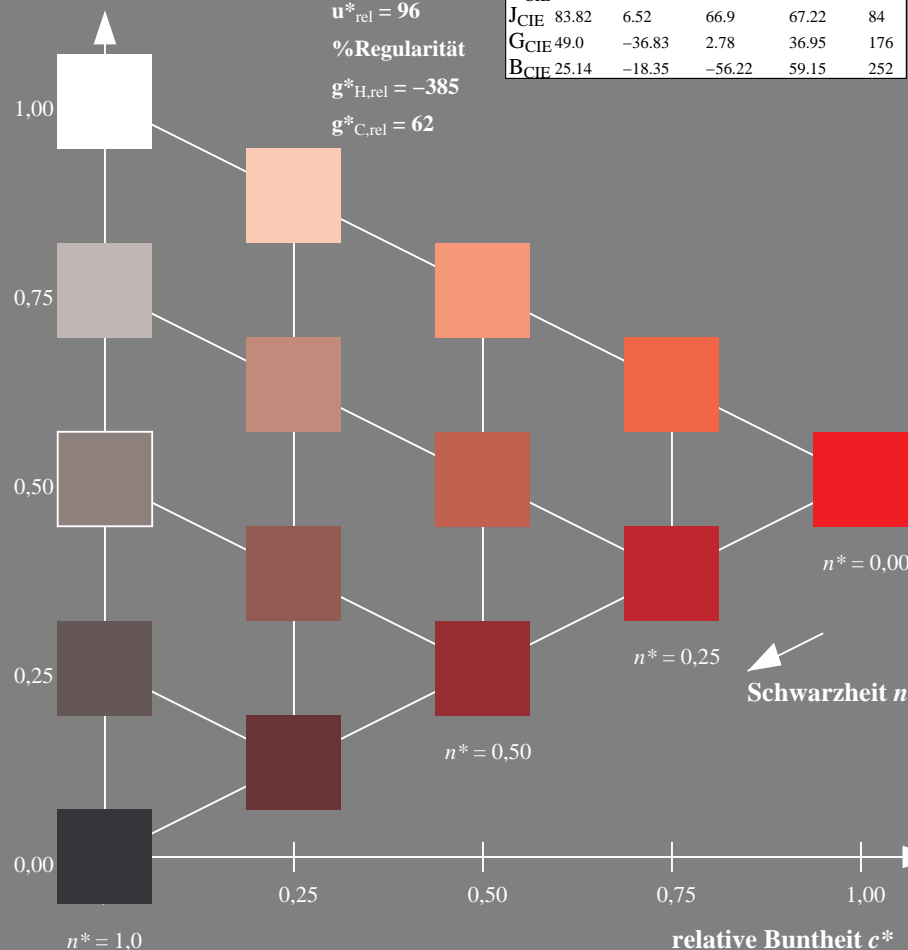
%Umfang

$u^*_{rel} = 96$

%Regularität

$g^*_{H,rel} = -385$

$g^*_{C,rel} = 62$



SG200-7, 5 stufige Reihen für konstanten CIELAB Buntton 38/360 = 0.106 (links)

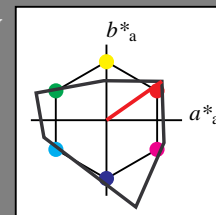
BAM-Prüfvorlage SG20; Farbmimetrik-Systeme ORS18 & TLS00 input: $cmY0^* setcmykcolor$

A: Koordinatensysteme; 5stufige Farbreihen für 10 Bunttöne

Ausgabe: Farbmimetrisches Fernseh-Licht-System TLS00

für Buntton $h^* = lab^*h = 35/360 = 0.097$
 LAB^*LCH , LAB^*NCH

D65: Buntton O
LCH*Ma: 66 90 35
olv*Ma: 1.0 0.0 0.0



TLS00; adaptierte CIELAB-Daten

	$L^*=L^*_a$	a^*_a	b^*_a	$C^*_{ab,a}$	$h^*_{ab,a}$
O _m	65.56	73.34	51.39	89.55	35
Y _m	94.78	-3.49	52.24	52.36	94
L _m	77.48	-92.97	36.0	99.71	159
C _m	78.36	-82.69	-22.74	85.77	195
V _m	12.55	38.81	-114.81	121.2	289
M _m	66.71	76.08	-29.8	81.71	339
N _m	0.01	0.0	0.0	0.0	0
W _m	95.41	0.0	0.0	0.0	0
R _{CIE}	47.79	61.74	42.56	74.99	35
J _{CIE}	83.82	7.06	70.78	71.13	84
G _{CIE}	49.0	-35.95	4.34	36.22	173
B _{CIE}	25.14	-17.24	-56.24	58.84	253

CIELAB-Helligkeit L^*

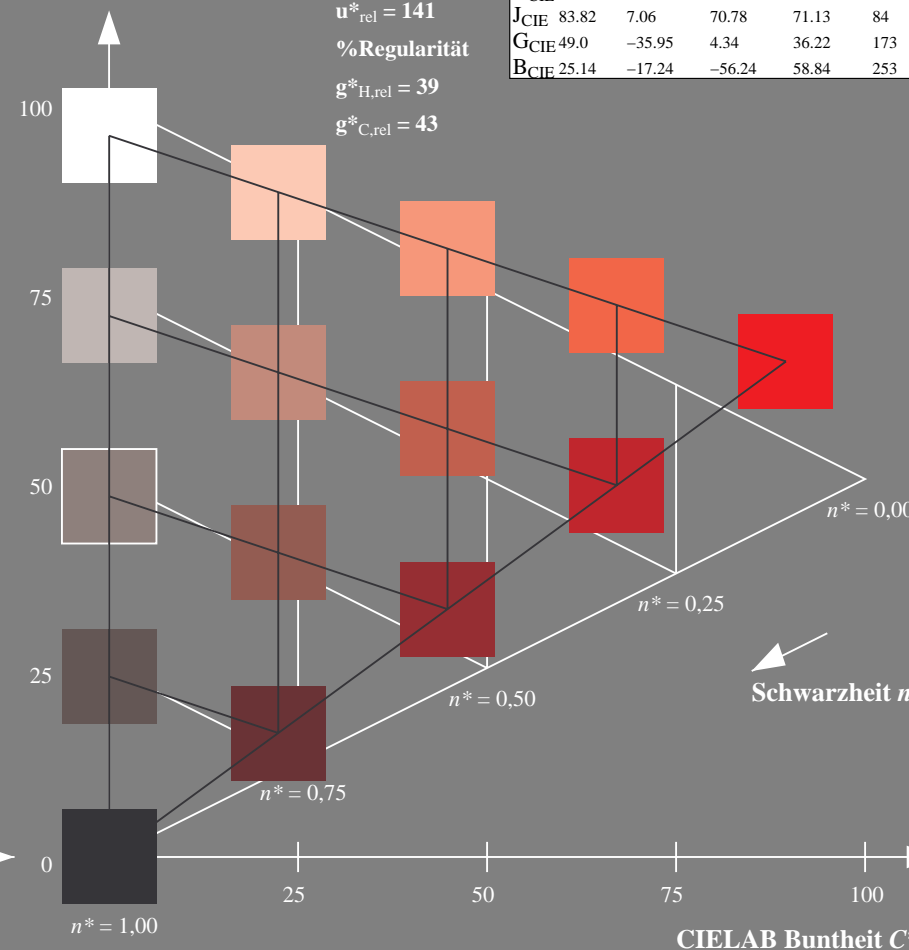
%Umfang

$u^*_{rel} = 141$

%Regularität

$g^*_{H,rel} = 39$

$g^*_{C,rel} = 43$



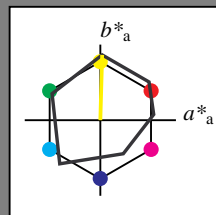
5 stufige Reihen für konstanten CIELAB Buntton 35/360 = 0.097 (rechts)

output: no change compared to input

Eingabe: Farbmimetrisches Offset-Reflektiv-System ORS18

für Buntton $h^* = lab^*h = 88/360 = 0.246$
 lab^*tch und lab^*nch

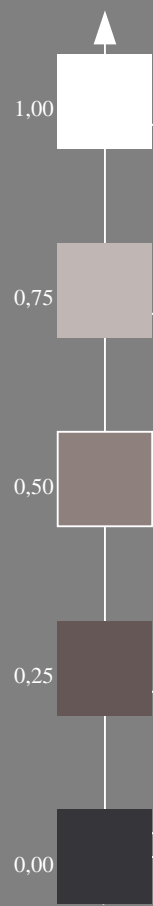
D65: Buntton Y
LCH*Ma: 93 86 88
olv*Ma: 1.0 1.0 0.0



ORS18; adaptierte CIELAB-Daten

	$L^*=L^*_a$	a^*_a	b^*_a	$C^*_{ab,a}$	$h^*_{ab,a}$
O _m	47.94	64.42	50.58	81.9	38
Y _m	92.62	2.41	86.36	86.39	88
L _m	50.9	-63.82	35.02	72.81	151
C _m	51.25	-53.68	-57.69	78.82	227
V _m	25.72	30.34	-44.37	53.76	304
M _m	56.25	70.59	7.57	70.99	6
N _m	18.11	0.0	0.0	0.0	0
W _m	95.6	0.0	0.0	0.0	0
R _{CIE}	47.79	60.85	41.08	73.41	34
J _{CIE}	83.82	6.52	66.9	67.22	84
G _{CIE}	49.0	-36.83	2.78	36.95	176
B _{CIE}	25.14	-18.35	-56.22	59.15	252

Dreiecks-Helligkeit t^*



%Umfang

$u^*_{rel} = 96$

%Regularität

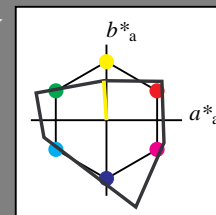
$g^*_{H,rel} = -385$

$g^*_{C,rel} = 62$

Ausgabe: Farbmimetrisches Fernseh-Licht-System TLS00

für Buntton $h^* = lab^*h = 94/360 = 0.261$
 LAB^*LCH , LAB^*NCH

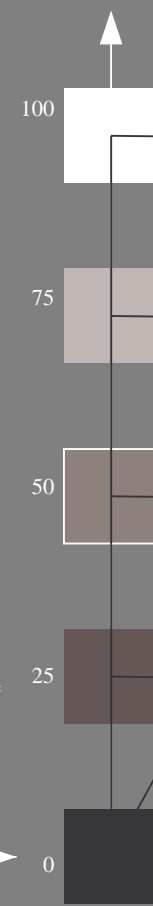
D65: Buntton Y
LCH*Ma: 95 52 94
olv*Ma: 1.0 1.0 0.0



TLS00; adaptierte CIELAB-Daten

	$L^*=L^*_a$	a^*_a	b^*_a	$C^*_{ab,a}$	$h^*_{ab,a}$
O _m	65.56	73.34	51.39	89.55	35
Y _m	94.78	-3.49	52.24	52.36	94
L _m	77.48	-92.97	36.0	99.71	159
C _m	78.36	-82.69	-22.74	85.77	195
V _m	12.55	38.81	-114.81	121.2	289
M _m	66.71	76.08	-29.8	81.71	339
N _m	0.01	0.0	0.0	0.0	0
W _m	95.41	0.0	0.0	0.0	0
R _{CIE}	47.79	61.74	42.56	74.99	35
J _{CIE}	83.82	7.06	70.78	71.13	84
G _{CIE}	49.0	-35.95	4.34	36.22	173
B _{CIE}	25.14	-17.24	-56.24	58.84	253

CIELAB-Helligkeit L^*



%Umfang

$u^*_{rel} = 141$

%Regularität

$g^*_{H,rel} = 39$

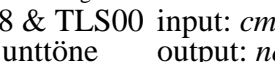
$g^*_{C,rel} = 43$

SG20-7, 5 stufige Reihen für konstanten CIELAB Buntton $88/360 = 0.246$ (links)



BAM-Prüfvorlage SG20; Farbmimetrik-Systeme ORS18 & TLS00
A: Koordinatensysteme; 5stufige Farbreihen für 10 Bunttöne

5 stufige Reihen für konstanten CIELAB Buntton $94/360 = 0.261$ (rechts)



input: $cmY0^* setcmykcolor$
output: no change compared to input

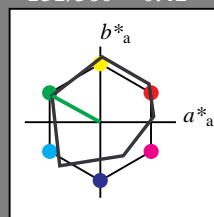
Eingabe: Farbmimetrisches Offset-Reflektiv-System ORS18

für Buntton $h^* = lab^*h = 151/360 = 0.42$
 lab^*tch und lab^*nch

D65: Buntton L
LCH*Ma: 51 73 151
olv*Ma: 0.0 1.0 0.0

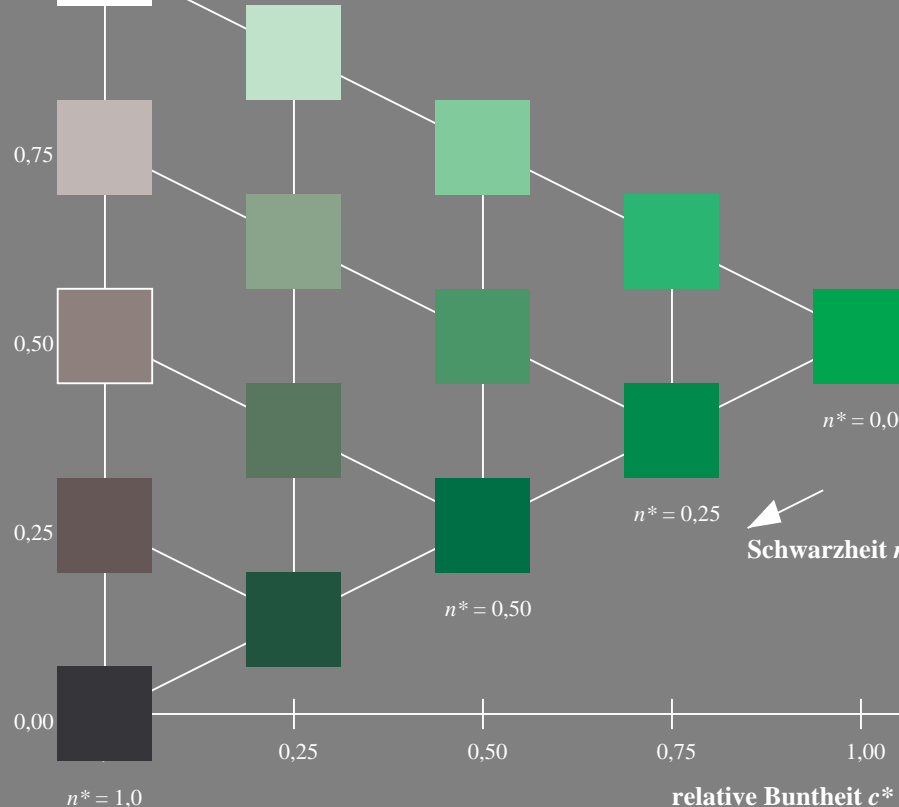
ORS18; adaptierte CIELAB-Daten

	$L^*=L^*_a$	a^*_a	b^*_a	$C^*_{ab,a}$	$h^*_{ab,a}$
O _m	47.94	64.42	50.58	81.9	38
Y _m	92.62	2.41	86.36	86.39	88
L _m	50.9	-63.82	35.02	72.81	151
C _m	51.25	-53.68	-57.69	78.82	227
V _m	25.72	30.34	-44.37	53.76	304
M _m	56.25	70.59	7.57	70.99	6
N _m	18.11	0.0	0.0	0.0	0
W _m	95.6	0.0	0.0	0.0	0
R _{CIE}	47.79	60.85	41.08	73.41	34
J _{CIE}	83.82	6.52	66.9	67.22	84
G _{CIE}	49.0	-36.83	2.78	36.95	176
B _{CIE}	25.14	-18.35	-56.22	59.15	252



Dreiecks-Helligkeit t^*

%Umfang
 $u^*_{rel} = 96$
%Regularität
 $g^*_{H,rel} = -385$
 $g^*_{C,rel} = 62$



SG200-7, 5 stufige Reihen für konstanten CIELAB Buntton 151/360 = 0.42 (links)

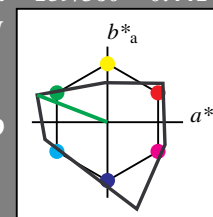
Ausgabe: Farbmimetrisches Fernseh-Licht-System TLS00

für Buntton $h^* = lab^*h = 159/360 = 0.441$
 LAB^*LCH , LAB^*NCH

D65: Buntton L
LCH*Ma: 77 100 159
olv*Ma: 0.0 1.0 0.0

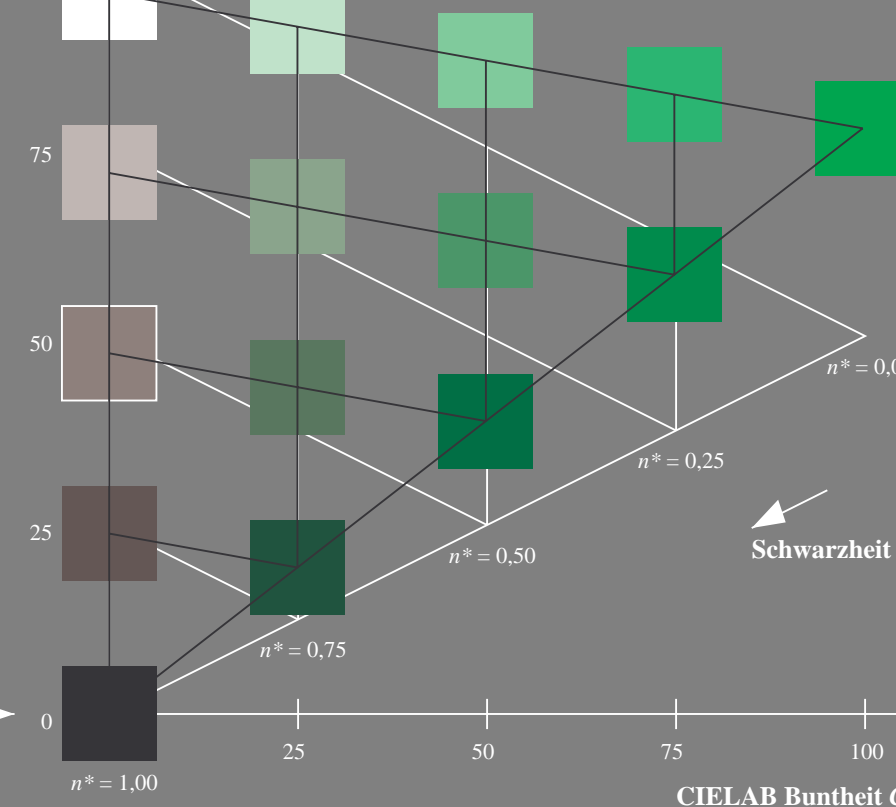
TLS00; adaptierte CIELAB-Daten

	$L^*=L^*_a$	a^*_a	b^*_a	$C^*_{ab,a}$	$h^*_{ab,a}$
O _m	65.56	73.34	51.39	89.55	35
Y _m	94.78	-3.49	52.24	52.36	94
L _m	77.48	-92.97	36.0	99.71	159
C _m	78.36	-82.69	-22.74	85.77	195
V _m	12.55	38.81	-114.81	121.2	289
M _m	66.71	76.08	-29.8	81.71	339
N _m	0.01	0.0	0.0	0.0	0
W _m	95.41	0.0	0.0	0.0	0
R _{CIE}	47.79	61.74	42.56	74.99	35
J _{CIE}	83.82	7.06	70.78	71.13	84
G _{CIE}	49.0	-35.95	4.34	36.22	173
B _{CIE}	25.14	-17.24	-56.24	58.84	253



CIELAB-Helligkeit L^*

%Umfang
 $u^*_{rel} = 141$
%Regularität
 $g^*_{H,rel} = 39$
 $g^*_{C,rel} = 43$



5 stufige Reihen für konstanten CIELAB Buntton 159/360 = 0.441 (rechts)

BAM-Prüfvorlage SG20; Farbmimetrik-Systeme ORS18 & TLS00 input: $cmY0^* setcmykcolor$

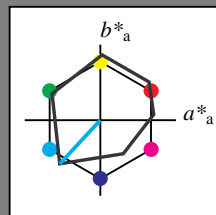
A: Koordinatensysteme; 5stufige Farbreihen für 10 Bunttöne

output: no change compared to input

Eingabe: Farbmimetrisches Offset-Reflektiv-System ORS18

für Buntton $h^* = lab^*h = 227/360 = 0.631$
 lab^*tch und lab^*nch

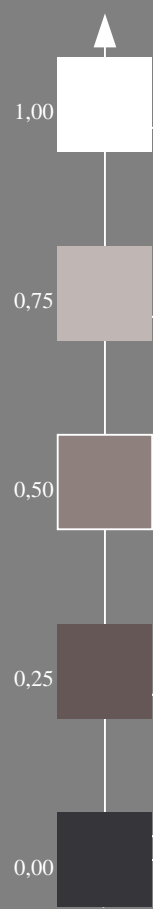
D65: Buntton C
LCH*Ma: 51 79 227
olv*Ma: 0.0 1.0 1.0



ORS18; adaptierte CIELAB-Daten

	$L^*=L^*_a$	a^*_a	b^*_a	$C^*_{ab,a}$	$h^*_{ab,a}$
O _m	47.94	64.42	50.58	81.9	38
Y _m	92.62	2.41	86.36	86.39	88
L _m	50.9	-63.82	35.02	72.81	151
C _m	51.25	-53.68	-57.69	78.82	227
V _m	25.72	30.34	-44.37	53.76	304
M _m	56.25	70.59	7.57	70.99	6
N _m	18.11	0.0	0.0	0.0	0
W _m	95.6	0.0	0.0	0.0	0
R _{CIE}	47.79	60.85	41.08	73.41	34
J _{CIE}	83.82	6.52	66.9	67.22	84
G _{CIE}	49.0	-36.83	2.78	36.95	176
B _{CIE}	25.14	-18.35	-56.22	59.15	252

Dreiecks-Helligkeit t^*



%Umfang

$u^*_{rel} = 96$

%Regularität

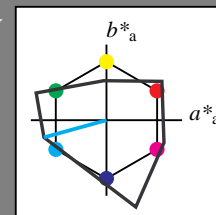
$g^*_{H,rel} = -385$

$g^*_{C,rel} = 62$

Ausgabe: Farbmimetrisches Fernseh-Licht-System TLS00

für Buntton $h^* = lab^*h = 195/360 = 0.543$
 LAB^*LCH , LAB^*NCH

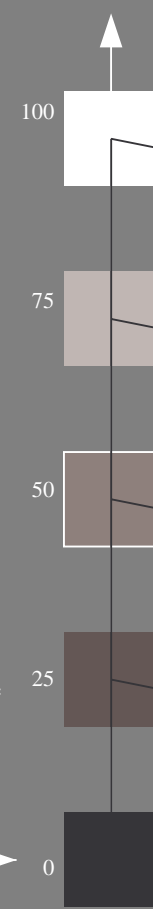
D65: Buntton C
LCH*Ma: 78 86 195
olv*Ma: 0.0 1.0 1.0



TLS00; adaptierte CIELAB-Daten

	$L^*=L^*_a$	a^*_a	b^*_a	$C^*_{ab,a}$	$h^*_{ab,a}$
O _m	65.56	73.34	51.39	89.55	35
Y _m	94.78	-3.49	52.24	52.36	94
L _m	77.48	-92.97	36.0	99.71	159
C _m	78.36	-82.69	-22.74	85.77	195
V _m	12.55	38.81	-114.81	121.2	289
M _m	66.71	76.08	-29.8	81.71	339
N _m	0.01	0.0	0.0	0.0	0
W _m	95.41	0.0	0.0	0.0	0
R _{CIE}	47.79	61.74	42.56	74.99	35
J _{CIE}	83.82	7.06	70.78	71.13	84
G _{CIE}	49.0	-35.95	4.34	36.22	173
B _{CIE}	25.14	-17.24	-56.24	58.84	253

CIELAB-Helligkeit L^*



%Umfang

$u^*_{rel} = 141$

%Regularität

$g^*_{H,rel} = 39$

$g^*_{C,rel} = 43$

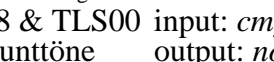
SG20-7, 5 stufige Reihen für konstanten CIELAB Buntton 227/360 = 0.631 (links)



BAM-Prüfvorlage SG20; Farbmimetrik-Systeme ORS18 & TLS00 input: $cmY0^* setcmykcolor$

A: Koordinatensysteme; 5stufige Farbreihen für 10 Bunttöne

5 stufige Reihen für konstanten CIELAB Buntton 195/360 = 0.543 (rechts)



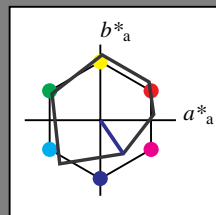
output: no change compared to input



Eingabe: Farbmimetrisches Offset-Reflektiv-System ORS18

für Buntton $h^* = lab^*h = 304/360 = 0.845$
 lab^*tch und lab^*nch

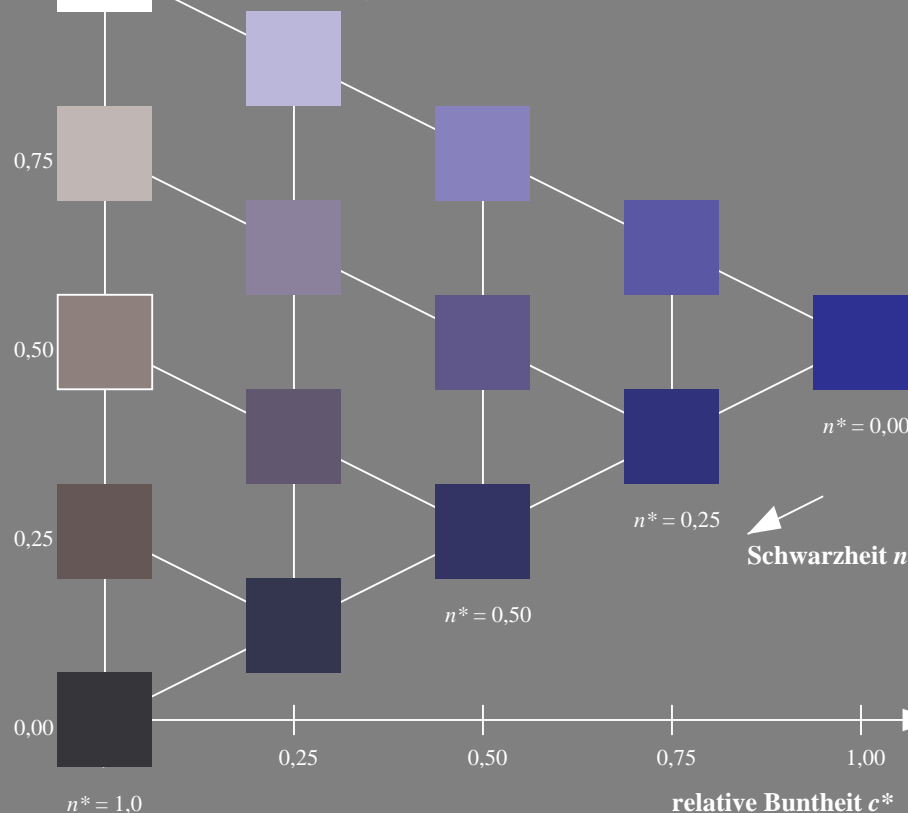
D65: Buntton V
LCH*Ma: 26 54 304
olv*Ma: 0.0 0.0 1.0



ORS18; adaptierte CIELAB-Daten					
	$L^*=L^*_a$	a^*_a	b^*_a	$C^*_{ab,a}$	$h^*_{ab,a}$
O _m	47.94	64.42	50.58	81.9	38
Y _m	92.62	2.41	86.36	86.39	88
L _m	50.9	-63.82	35.02	72.81	151
C _m	51.25	-53.68	-57.69	78.82	227
V _m	25.72	30.34	-44.37	53.76	304
M _m	56.25	70.59	7.57	70.99	6
N _m	18.11	0.0	0.0	0.0	0
W _m	95.6	0.0	0.0	0.0	0
R _{CIE}	47.79	60.85	41.08	73.41	34
J _{CIE}	83.82	6.52	66.9	67.22	84
G _{CIE}	49.0	-36.83	2.78	36.95	176
B _{CIE}	25.14	-18.35	-56.22	59.15	252

Dreiecks-Helligkeit t^*

%Umfang
 $u^*_{rel} = 96$
%Regularität
 $g^*_{H,rel} = -385$
 $g^*_{C,rel} = 62$

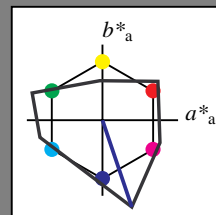


SG200-7, 5 stufige Reihen für konstanten CIELAB Buntton 304/360 = 0.845 (links)

Ausgabe: Farbmimetrisches Fernseh-Licht-System TLS00

für Buntton $h^* = lab^*h = 289/360 = 0.802$
 LAB^*LCH , LAB^*NCH

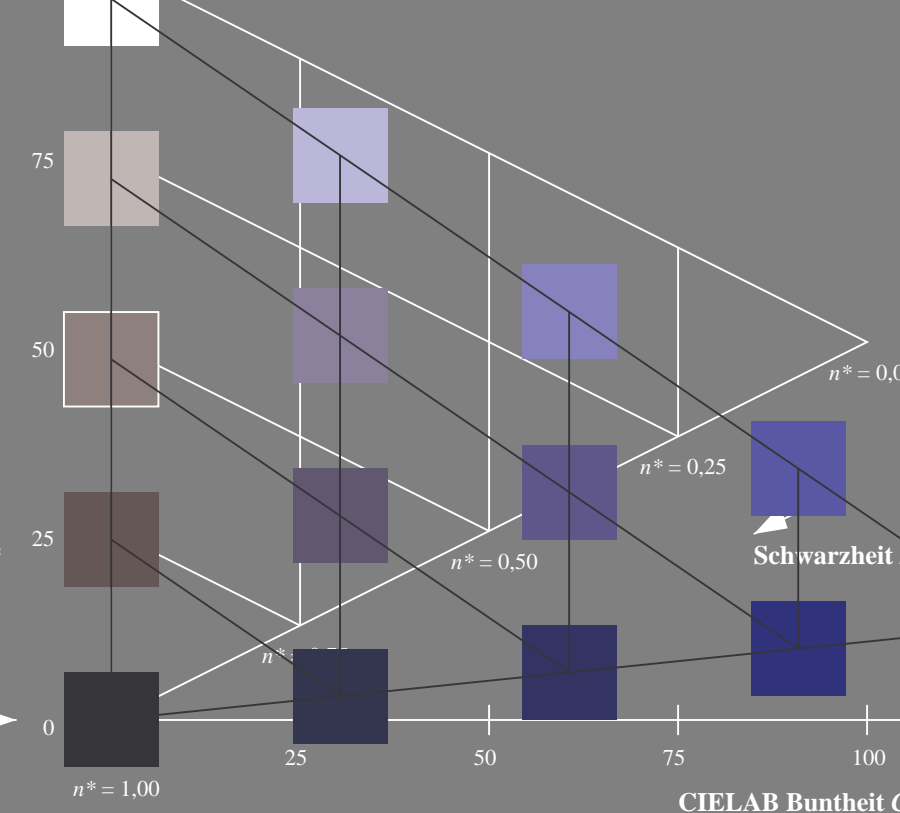
D65: Buntton V
LCH*Ma: 13 121 289
olv*Ma: 0.0 0.0 1.0



TLS00; adaptierte CIELAB-Daten					
	$L^*=L^*_a$	a^*_a	b^*_a	$C^*_{ab,a}$	$h^*_{ab,a}$
O _m	65.56	73.34	51.39	89.55	35
Y _m	94.78	-3.49	52.24	52.36	94
L _m	77.48	-92.97	36.0	99.71	159
C _m	78.36	-82.69	-22.74	85.77	195
V _m	12.55	38.81	-114.81	121.2	289
M _m	66.71	76.08	-29.8	81.71	339
N _m	0.01	0.0	0.0	0.0	0
W _m	95.41	0.0	0.0	0.0	0
R _{CIE}	47.79	61.74	42.56	74.99	35
J _{CIE}	83.82	7.06	70.78	71.13	84
G _{CIE}	49.0	-35.95	4.34	36.22	173
B _{CIE}	25.14	-17.24	-56.24	58.84	253

CIELAB-Helligkeit L^*

%Umfang
 $u^*_{rel} = 141$
%Regularität
 $g^*_{H,rel} = 39$
 $g^*_{C,rel} = 43$



5 stufige Reihen für konstanten CIELAB Buntton 289/360 = 0.802 (rechts)

BAM-Prüfvorlage SG20; Farbmimetrik-Systeme ORS18 & TLS00 input: $cmY0^* setcmykcolor$

A: Koordinatensysteme; 5stufige Farbreihen für 10 Bunttöne

output: no change compared to input

Eingabe: Farbmimetrisches Offset-Reflektiv-System ORS18

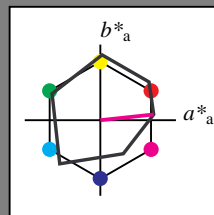
für Buntton $h^* = lab^*h = 6/360 = 0.017$

lab^*tch und lab^*nch

D65: Buntton M

LCH*Ma: 56 71 6

olv*Ma: 1.0 0.0 1.0



ORS18; adaptierte CIELAB-Daten

	$L^*=L^*_a$	a^*_a	b^*_a	$C^*_{ab,a}$	$h^*_{ab,a}$
O _m	47.94	64.42	50.58	81.9	38
Y _m	92.62	2.41	86.36	86.39	88
L _m	50.9	-63.82	35.02	72.81	151
C _m	51.25	-53.68	-57.69	78.82	227
V _m	25.72	30.34	-44.37	53.76	304
M _m	56.25	70.59	7.57	70.99	6
N _m	18.11	0.0	0.0	0.0	0
W _m	95.6	0.0	0.0	0.0	0
R _{CIE}	47.79	60.85	41.08	73.41	34
J _{CIE}	83.82	6.52	66.9	67.22	84
G _{CIE}	49.0	-36.83	2.78	36.95	176
B _{CIE}	25.14	-18.35	-56.22	59.15	252

Dreiecks-Helligkeit t^*

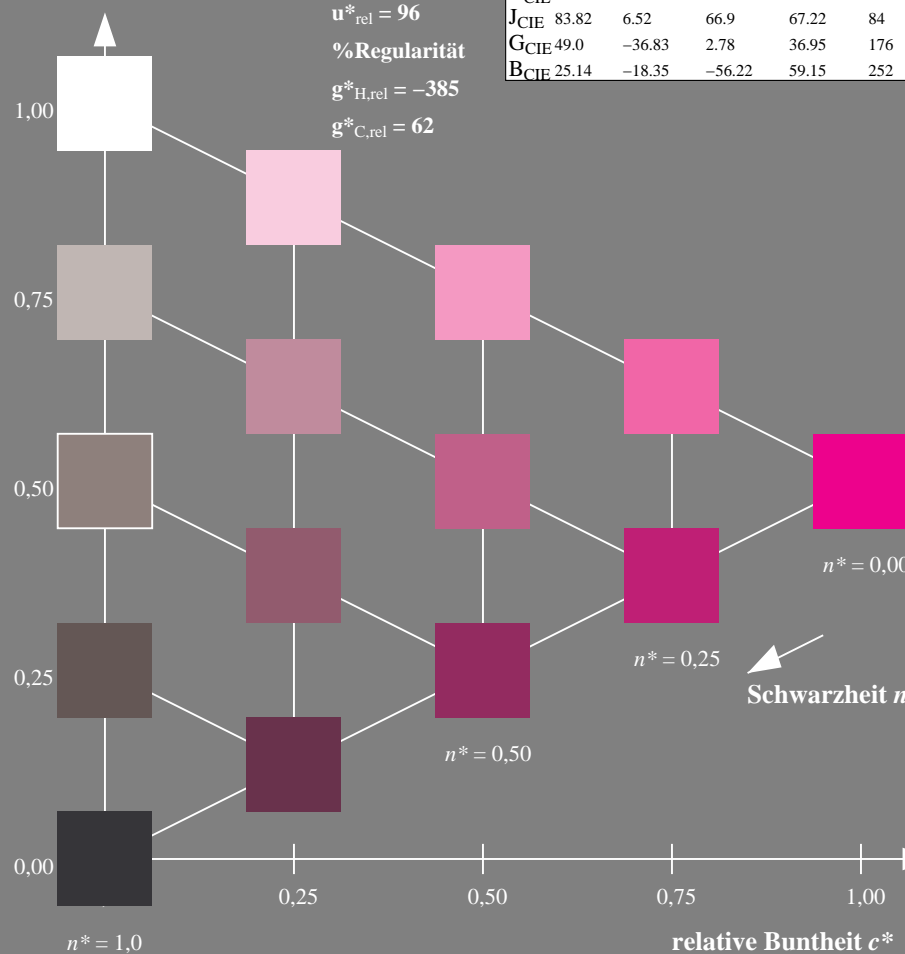
%Umfang

$u^*_{rel} = 96$

%Regularität

$g^*_{H,rel} = -385$

$g^*_{C,rel} = 62$



SG200-7, 5 stufige Reihen für konstanten CIELAB Buntton $6/360 = 0.017$ (links)

Ausgabe: Farbmimetrisches Fernseh-Licht-System TLS00

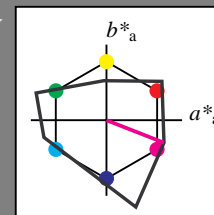
für Buntton $h^* = lab^*h = 339/360 = 0.941$

LAB^*LCH, LAB^*NCH

D65: Buntton M

LCH*Ma: 67 82 339

olv*Ma: 1.0 0.0 1.0



TLS00; adaptierte CIELAB-Daten

	$L^*=L^*_a$	a^*_a	b^*_a	$C^*_{ab,a}$	$h^*_{ab,a}$
O _m	65.56	73.34	51.39	89.55	35
Y _m	94.78	-3.49	52.24	52.36	94
L _m	77.48	-92.97	36.0	99.71	159
C _m	78.36	-82.69	-22.74	85.77	195
V _m	12.55	38.81	-114.81	121.2	289
M _m	66.71	76.08	-29.8	81.71	339
N _m	0.01	0.0	0.0	0.0	0
W _m	95.41	0.0	0.0	0.0	0
R _{CIE}	47.79	61.74	42.56	74.99	35
J _{CIE}	83.82	7.06	70.78	71.13	84
G _{CIE}	49.0	-35.95	4.34	36.22	173
B _{CIE}	25.14	-17.24	-56.24	58.84	253

CIELAB-Helligkeit L^*

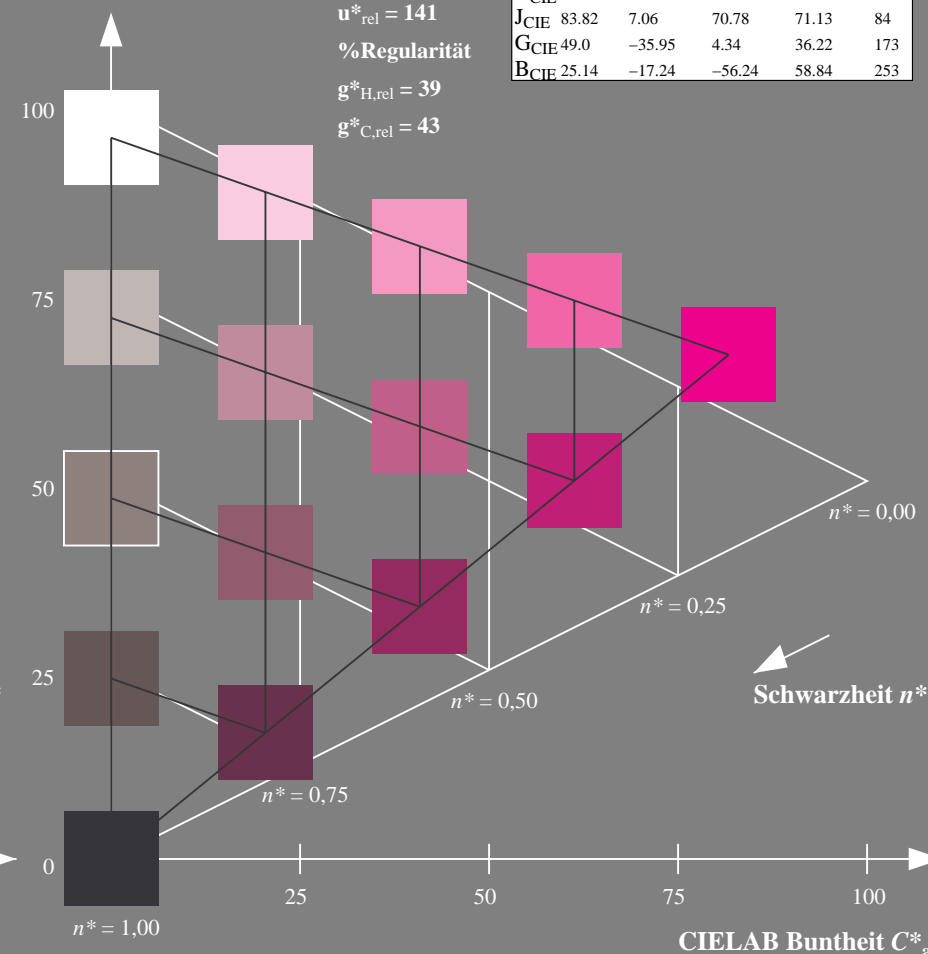
%Umfang

$u^*_{rel} = 141$

%Regularität

$g^*_{H,rel} = 39$

$g^*_{C,rel} = 43$



5 stufige Reihen für konstanten CIELAB Buntton $339/360 = 0.941$ (rechts)

BAM-Prüfvorlage SG20; Farbmimetrik-Systeme ORS18 & TLS00 input: $cmY0^* setcmykcolor$

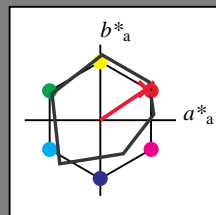
A: Koordinatensysteme; 5stufige Farbreihen für 10 Bunttöne

output: no change compared to input

Eingabe: Farbmimetrisches Offset-Reflektiv-System ORS18

für Buntton $h^* = lab^*h = 34/360 = 0.095$
 lab^*tch und lab^*nch

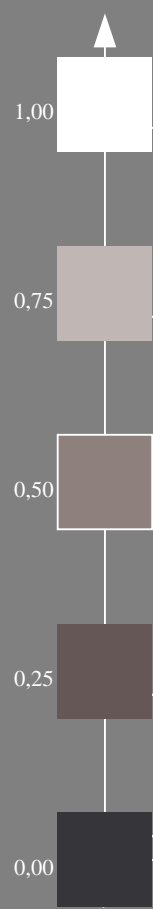
D65: Buntton R
LCH*Ma: 49 79 34
olv*Ma: 1.0 0.0 0.15



ORS18; adaptierte CIELAB-Daten

	$L^*=L^*_a$	a^*_a	b^*_a	$C^*_{ab,a}$	$h^*_{ab,a}$
O _m	47.94	64.42	50.58	81.9	38
Y _m	92.62	2.41	86.36	86.39	88
L _m	50.9	-63.82	35.02	72.81	151
C _m	51.25	-53.68	-57.69	78.82	227
V _m	25.72	30.34	-44.37	53.76	304
M _m	56.25	70.59	7.57	70.99	6
N _m	18.11	0.0	0.0	0.0	0
W _m	95.6	0.0	0.0	0.0	0
R _m	47.79	60.85	41.08	73.41	34
J _m	83.82	6.52	66.9	67.22	84
G _m	49.0	-36.83	2.78	36.95	176
B _m	25.14	-18.35	-56.22	59.15	252

Dreiecks-Helligkeit t^*



%Umfang

$u^*_{rel} = 96$

%Regularität

$g^*_{H,rel} = -385$

$g^*_{C,rel} = 62$

R_{CIE}

$n^* = 0,00$

$n^* = 0,25$

$n^* = 0,50$

$n^* = 1,0$

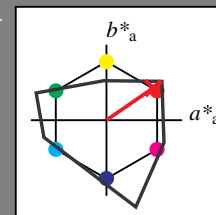
relative Buntheit c^*

SG200-7, 5 stufige Reihen für konstanten CIELAB Buntton 34/360 = 0.095 (links)

Ausgabe: Farbmimetrisches Fernseh-Licht-System TLS00

für Buntton $h^* = lab^*h = 35/360 = 0.096$
 LAB^*LCH, LAB^*NCH

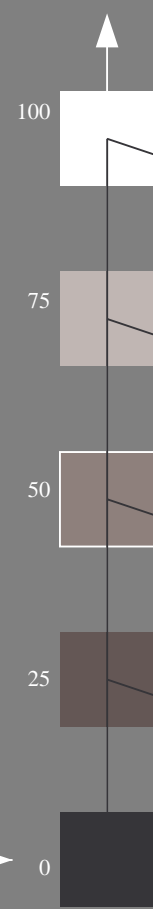
D65: Buntton R
LCH*Ma: 66 89 35
olv*Ma: 1.0 0.0 0.01



TLS00; adaptierte CIELAB-Daten

	$L^*=L^*_a$	a^*_a	b^*_a	$C^*_{ab,a}$	$h^*_{ab,a}$
O _m	65.56	73.34	51.39	89.55	35
Y _m	94.78	-3.49	52.24	52.36	94
L _m	77.48	-92.97	36.0	99.71	159
C _m	78.36	-82.69	-22.74	85.77	195
V _m	12.55	38.81	-114.81	121.2	289
M _m	66.71	76.08	-29.8	81.71	339
N _m	0.01	0.0	0.0	0.0	0
W _m	95.41	0.0	0.0	0.0	0
R _m	47.79	61.74	42.56	74.99	35
J _m	83.82	7.06	70.78	71.13	84
G _m	49.0	-35.95	4.34	36.22	173
B _m	25.14	-17.24	-56.24	58.84	253

CIELAB-Helligkeit L^*



%Umfang

$u^*_{rel} = 141$

%Regularität

$g^*_{H,rel} = 39$

$g^*_{C,rel} = 43$

R_{CIE}

$n^* = 0,00$

$n^* = 0,25$

$n^* = 0,50$

$n^* = 0,75$

CIELAB Buntheit C^*_{ab}

5 stufige Reihen für konstanten CIELAB Buntton 35/360 = 0.096 (rechts)

BAM-Prüfvorlage SG20; Farbmimetrik-Systeme ORS18 & TLS00 input: *cmY0* setcmykcolor*

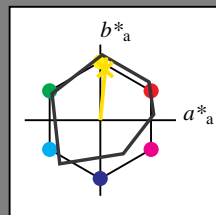
A: Koordinatensysteme; 5stufige Farbreihen für 10 Bunttöne

output: *no change compared to input*

Eingabe: Farbmimetrisches Offset-Reflektiv-System ORS18

für Buntton $h^* = lab^*h = 84/360 = 0.235$
 lab^*tch und lab^*nch

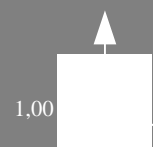
D65: Buntton J
LCH*Ma: 89 83 84
olv*Ma: 1.0 0.91 0.0



ORS18; adaptierte CIELAB-Daten

	$L^*=L^*_a$	a^*_a	b^*_a	$C^*_{ab,a}$	$h^*_{ab,a}$
O _m	47.94	64.42	50.58	81.9	38
Y _m	92.62	2.41	86.36	86.39	88
L _m	50.9	-63.82	35.02	72.81	151
C _m	51.25	-53.68	-57.69	78.82	227
V _m	25.72	30.34	-44.37	53.76	304
M _m	56.25	70.59	7.57	70.99	6
N _m	18.11	0.0	0.0	0.0	0
W _m	95.6	0.0	0.0	0.0	0
R _m	47.79	60.85	41.08	73.41	34
J _m	83.82	6.52	66.9	67.22	84
G _m	49.0	-36.83	2.78	36.95	176
B _m	25.14	-18.35	-56.22	59.15	252

Dreiecks-Helligkeit t^*



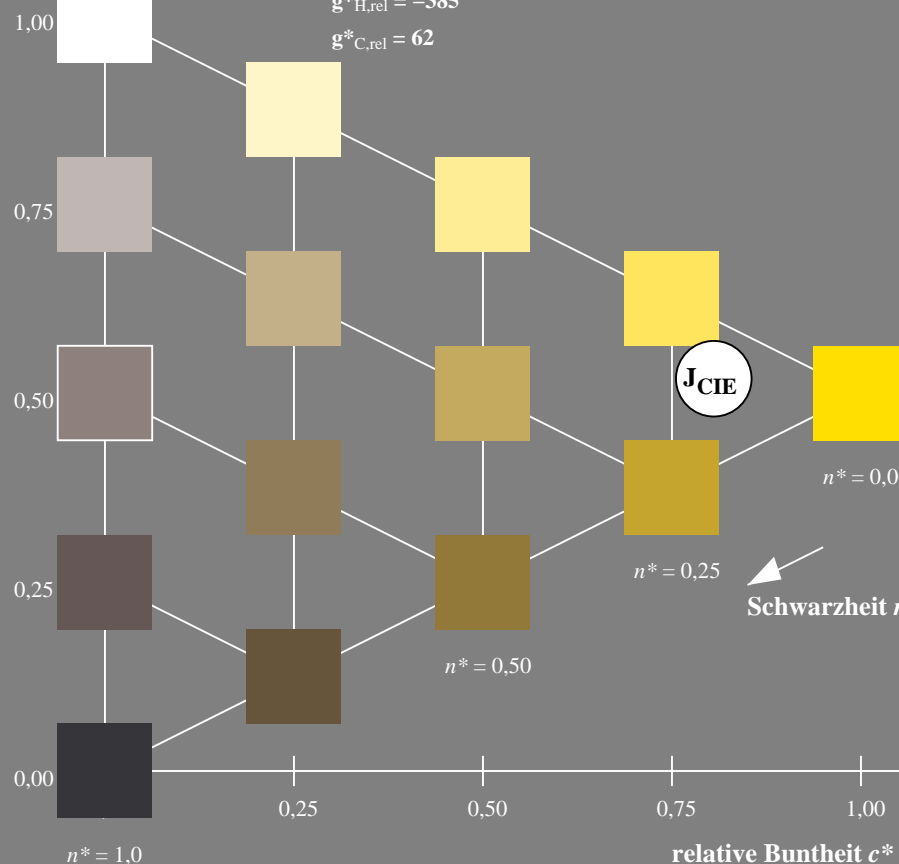
%Umfang

$u^*_{rel} = 96$

%Regularität

$g^*_{H,rel} = -385$

$g^*_{C,rel} = 62$

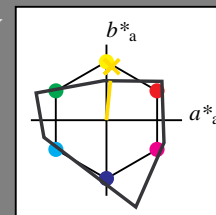


SG200-7, 5 stufige Reihen für konstanten CIELAB Buntton 84/360 = 0.235 (links)

Ausgabe: Farbmimetrisches Fernseh-Licht-System TLS00

für Buntton $h^* = lab^*h = 84/360 = 0.234$
 LAB^*LCH , LAB^*NCH

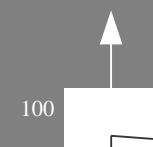
D65: Buntton J
LCH*Ma: 91 52 84
olv*Ma: 1.0 0.89 0.0



TLS00; adaptierte CIELAB-Daten

	$L^*=L^*_a$	a^*_a	b^*_a	$C^*_{ab,a}$	$h^*_{ab,a}$
O _m	65.56	73.34	51.39	89.55	35
Y _m	94.78	-3.49	52.24	52.36	94
L _m	77.48	-92.97	36.0	99.71	159
C _m	78.36	-82.69	-22.74	85.77	195
V _m	12.55	38.81	-114.81	121.2	289
M _m	66.71	76.08	-29.8	81.71	339
N _m	0.01	0.0	0.0	0.0	0
W _m	95.41	0.0	0.0	0.0	0
R _m	47.79	61.74	42.56	74.99	35
J _m	83.82	7.06	70.78	71.13	84
G _m	49.0	-35.95	4.34	36.22	173
B _m	25.14	-17.24	-56.24	58.84	253

CIELAB-Helligkeit L^*



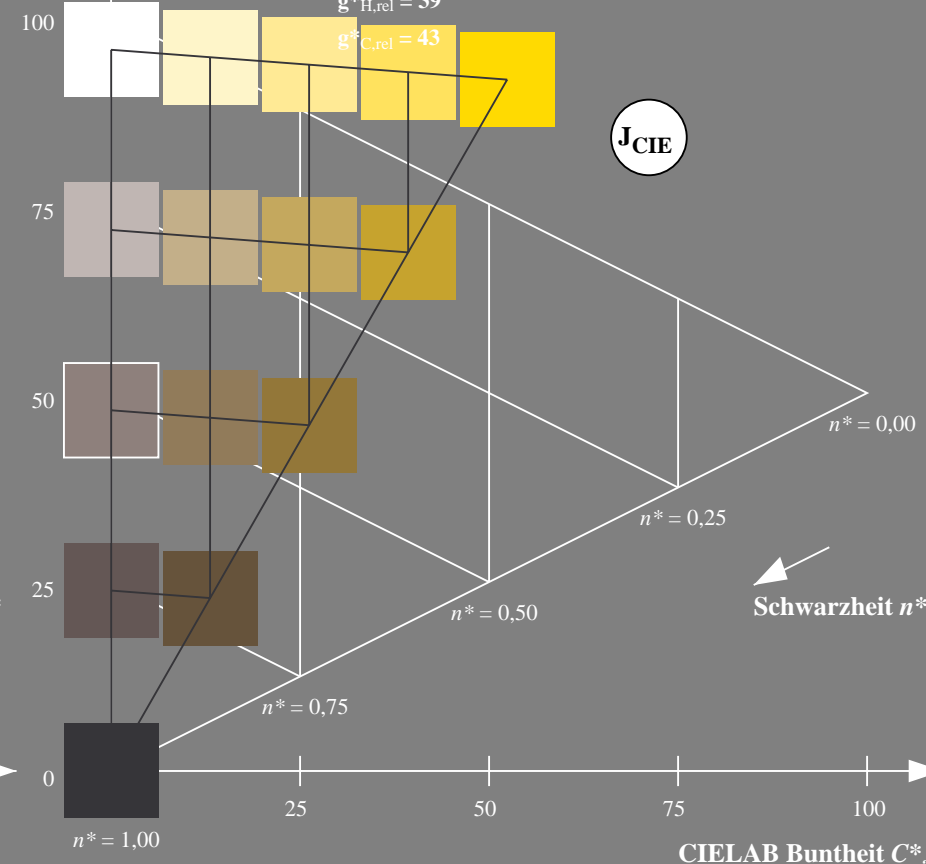
%Umfang

$u^*_{rel} = 141$

%Regularität

$g^*_{H,rel} = 39$

$g^*_{C,rel} = 43$



5 stufige Reihen für konstanten CIELAB Buntton 84/360 = 0.234 (rechts)

BAM-Prüfvorlage SG20; Farbmimetrik-Systeme ORS18 & TLS00 input: $cmY0^* setcmykcolor$

A: Koordinatensysteme; 5stufige Farbreihen für 10 Bunttöne

output: no change compared to input

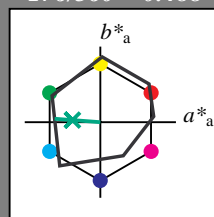
Eingabe: Farbmimetrisches Offset-Reflektiv-System ORS18

für Buntton $h^* = lab \cdot h = 176/360 = 0,488$
 $lab \cdot tch$ und $lab \cdot nch$

D65: Buntton G
LCH*Ma: 51 61 176
olv*Ma: 0.0 1.0 0.33

ORS18; adaptierte CIELAB-Daten

	$L^*=L^*_a$	a^*_a	b^*_a	$C^*_{ab,a}$	$h^*_{ab,a}$
O _m	47.94	64.42	50.58	81.9	38
Y _m	92.62	2.41	86.36	86.39	88
L _m	50.9	-63.82	35.02	72.81	151
C _m	51.25	-53.68	-57.69	78.82	227
V _m	25.72	30.34	-44.37	53.76	304
M _m	56.25	70.59	7.57	70.99	6
N _m	18.11	0.0	0.0	0.0	0
W _m	95.6	0.0	0.0	0.0	0
R _m	47.79	60.85	41.08	73.41	34
J _m	83.82	6.52	66.9	67.22	84
G _m	49.0	-36.83	2.78	36.95	176
B _m	25.14	-18.35	-56.22	59.15	252



Dreiecks-Helligkeit t^*

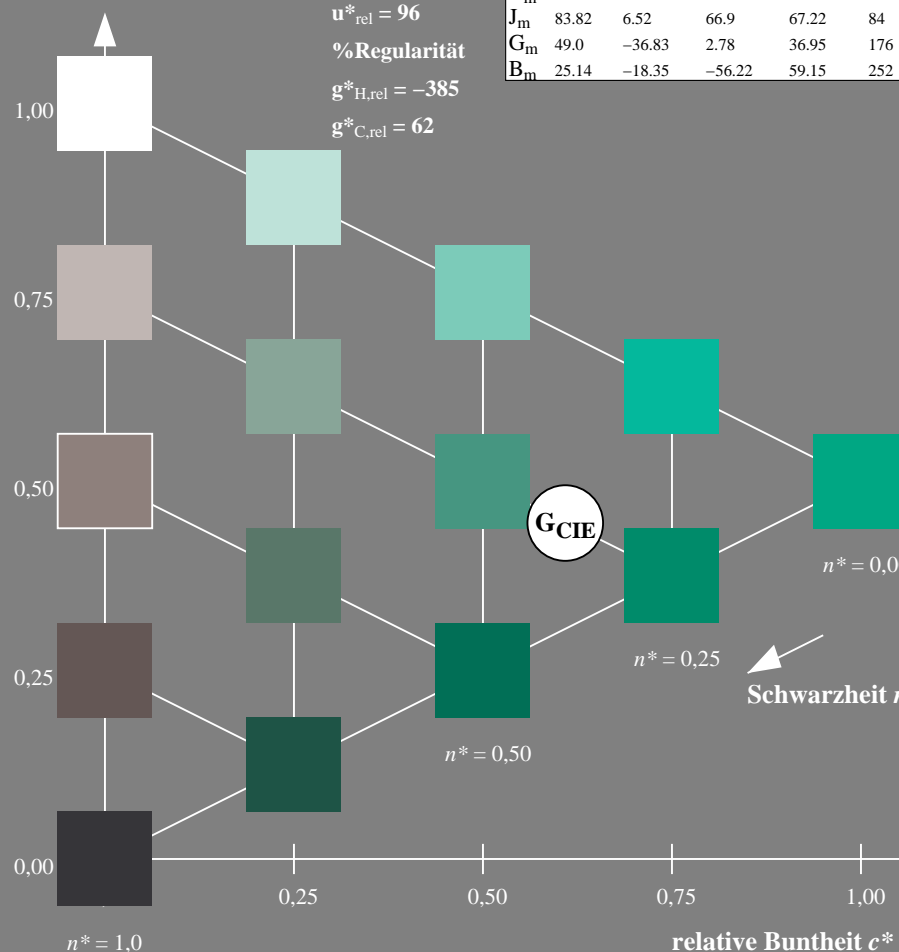
%Umfang

$u^*_{rel} = 96$

%Regularität

$g^*_{H,rel} = -385$

$g^*_{C,rel} = 62$



SG200-7, 5 stufige Reihen für konstanten CIELAB Buntton $176/360 = 0,488$ (links)

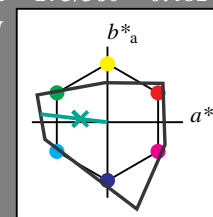
Ausgabe: Farbmimetrisches Fernseh-Licht-System TLS00

für Buntton $h^* = lab \cdot h = 173/360 = 0,481$
 $LAB \cdot LCH$, $LAB \cdot NCH$

D65: Buntton G
LCH*Ma: 78 89 173
olv*Ma: 0.0 1.0 0.43

TLS00; adaptierte CIELAB-Daten

	$L^*=L^*_a$	a^*_a	b^*_a	$C^*_{ab,a}$	$h^*_{ab,a}$
O _m	65.56	73.34	51.39	89.55	35
Y _m	94.78	-3.49	52.24	52.36	94
L _m	77.48	-92.97	36.0	99.71	159
C _m	78.36	-82.69	-22.74	85.77	195
V _m	12.55	38.81	-114.81	121.2	289
M _m	66.71	76.08	-29.8	81.71	339
N _m	0.01	0.0	0.0	0.0	0
W _m	95.41	0.0	0.0	0.0	0
R _m	47.79	61.74	42.56	74.99	35
J _m	83.82	7.06	70.78	71.13	84
G _m	49.0	-35.95	4.34	36.22	173
B _m	25.14	-17.24	-56.24	58.84	253



CIELAB-Helligkeit L^*

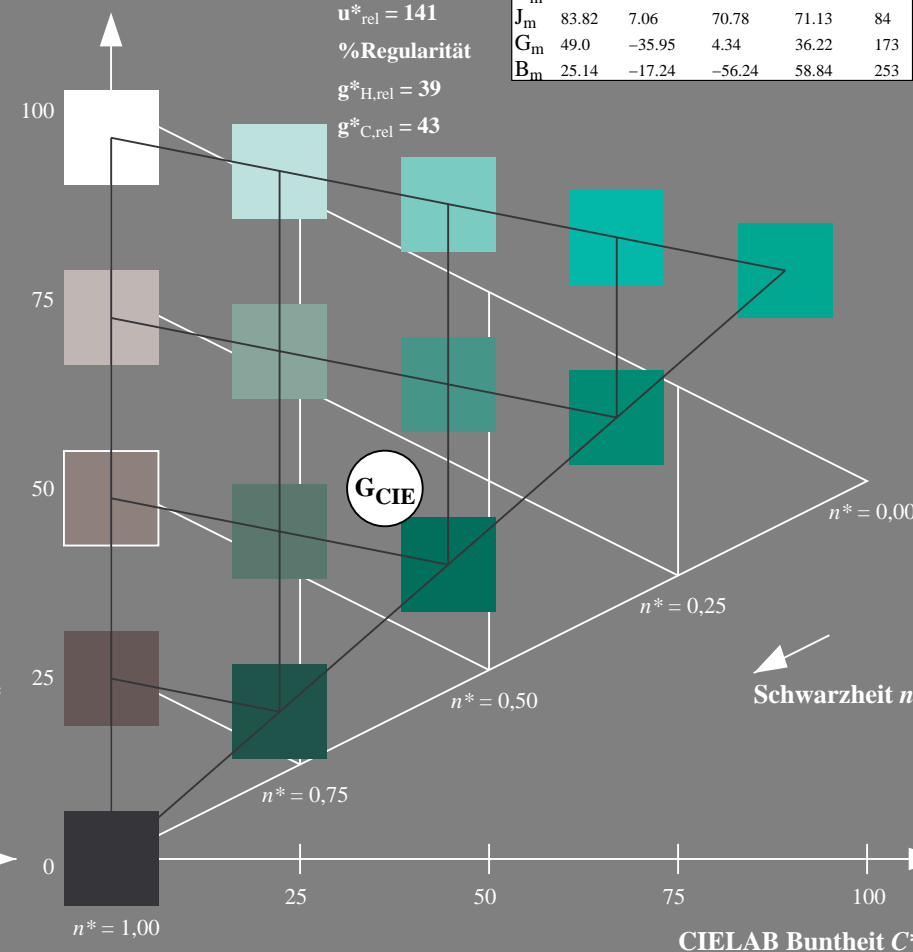
%Umfang

$u^*_{rel} = 141$

%Regularität

$g^*_{H,rel} = 39$

$g^*_{C,rel} = 43$



5 stufige Reihen für konstanten CIELAB Buntton $173/360 = 0,481$ (rechts)

BAM-Prüfvorlage SG20; Farbmimetrik-Systeme ORS18 & TLS00 input: *cmly0* setcmlycolor*

A: Koordinatensysteme; 5stufige Farbreihen für 10 Bunttöne

output: *no change compared to input*

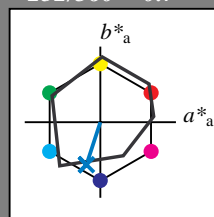
Eingabe: Farbmimetrisches Offset-Reflektiv-System ORS18

für Buntton $h^* = lab^*h = 252/360 = 0,7$
 lab^*tch und lab^*nch

D65: Buntton B
LCH*Ma: 40 55 252
olv*Ma: 0.0 0.56 1.0

ORS18; adaptierte CIELAB-Daten

	$L^*=L^*_a$	a^*_a	b^*_a	$C^*_{ab,a}$	$h^*_{ab,a}$
O _m	47.94	64.42	50.58	81.9	38
Y _m	92.62	2.41	86.36	86.39	88
L _m	50.9	-63.82	35.02	72.81	151
C _m	51.25	-53.68	-57.69	78.82	227
V _m	25.72	30.34	-44.37	53.76	304
M _m	56.25	70.59	7.57	70.99	6
N _m	18.11	0.0	0.0	0.0	0
W _m	95.6	0.0	0.0	0.0	0
R _m	47.79	60.85	41.08	73.41	34
J _m	83.82	6.52	66.9	67.22	84
G _m	49.0	-36.83	2.78	36.95	176
B _m	25.14	-18.35	-56.22	59.15	252



Dreiecks-Helligkeit t^*

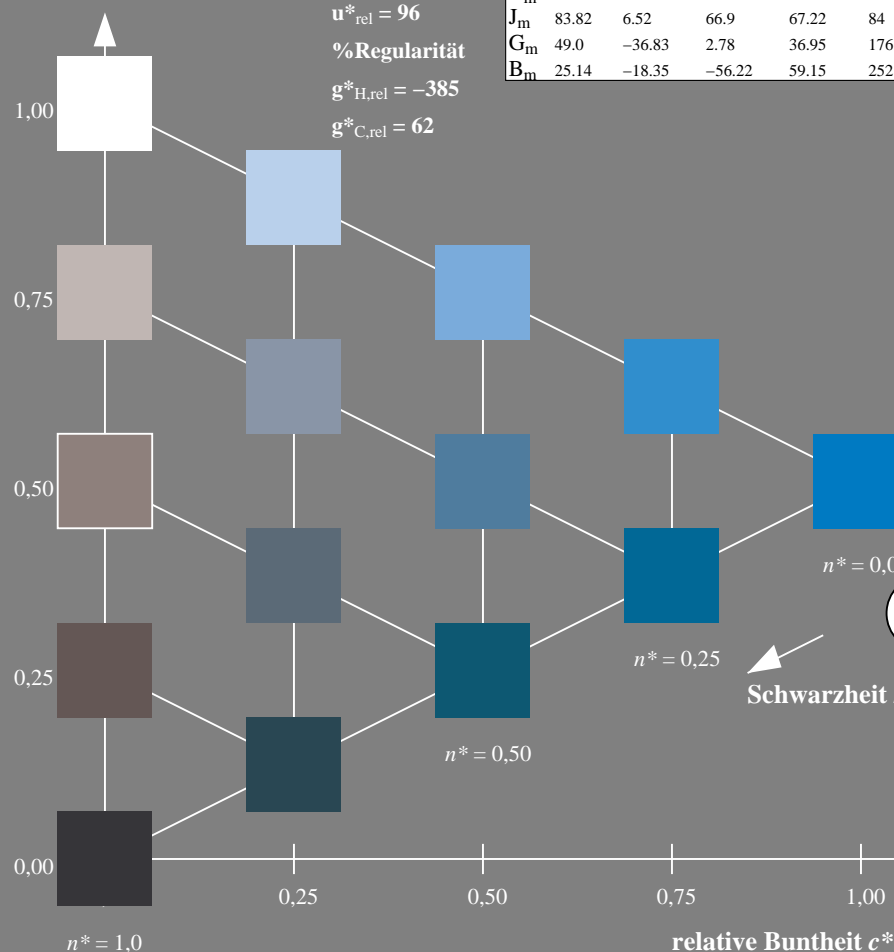
%Umfang

$u^*_{rel} = 96$

%Regularität

$g^*_{H,rel} = -385$

$g^*_{C,rel} = 62$



SG200-7, 5 stufige Reihen für konstanten CIELAB Buntton 252/360 = 0.7 (links)

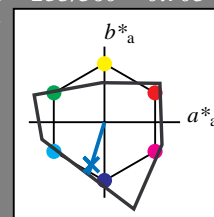
Ausgabe: Farbmimetrisches Fernseh-Licht-System TLS00

für Buntton $h^* = lab^*h = 253/360 = 0.703$
 LAB^*LCH , LAB^*NCH

D65: Buntton B
LCH*Ma: 45 72 253
olv*Ma: 0.0 0.49 1.0

TLS00; adaptierte CIELAB-Daten

	$L^*=L^*_a$	a^*_a	b^*_a	$C^*_{ab,a}$	$h^*_{ab,a}$
O _m	65.56	73.34	51.39	89.55	35
Y _m	94.78	-3.49	52.24	52.36	94
L _m	77.48	-92.97	36.0	99.71	159
C _m	78.36	-82.69	-22.74	85.77	195
V _m	12.55	38.81	-114.81	121.2	289
M _m	66.71	76.08	-29.8	81.71	339
N _m	0.01	0.0	0.0	0.0	0
W _m	95.41	0.0	0.0	0.0	0
R _m	47.79	61.74	42.56	74.99	35
J _m	83.82	7.06	70.78	71.13	84
G _m	49.0	-35.95	4.34	36.22	173
B _m	25.14	-17.24	-56.24	58.84	253



CIELAB-Helligkeit L^*

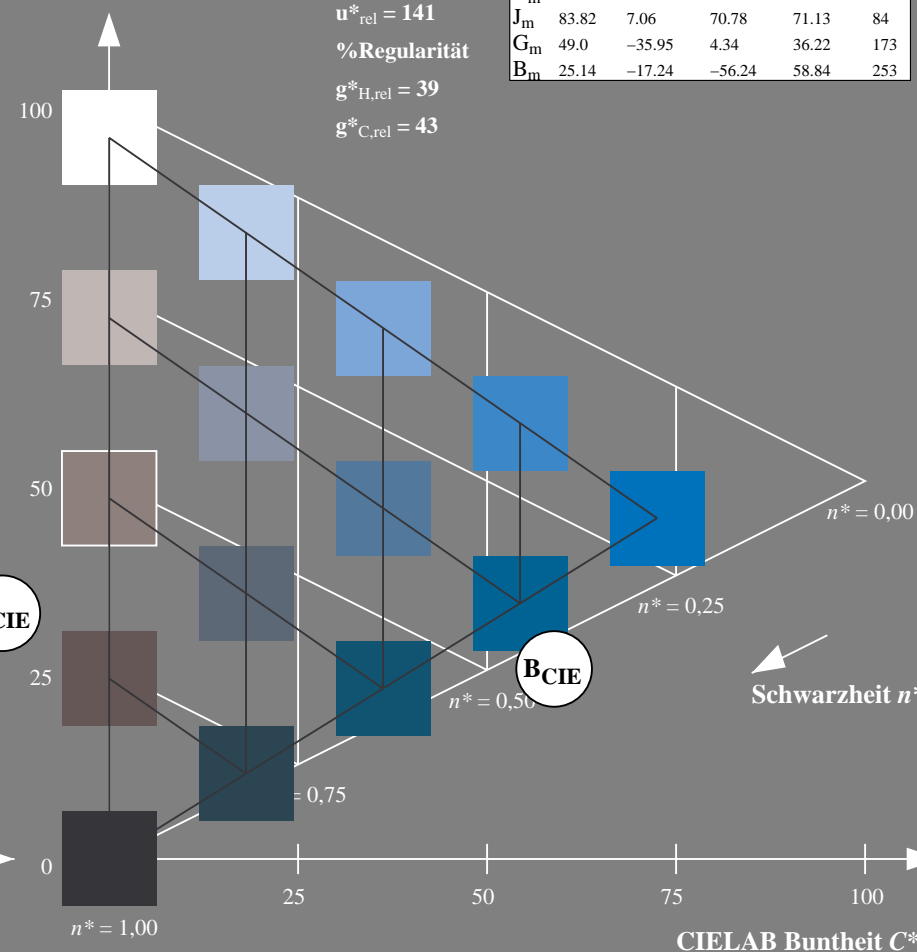
%Umfang

$u^*_{rel} = 141$

%Regularität

$g^*_{H,rel} = 39$

$g^*_{C,rel} = 43$



5 stufige Reihen für konstanten CIELAB Buntton 253/360 = 0.703 (rechts)

BAM-Prüfvorlage SG20; Farbmimetrik-Systeme ORS18 & TLS00 input: $cmY0^* setcmykcolor$

A: Koordinatensysteme; 5stufige Farbreihen für 10 Bunttöne

output: no change compared to input